

کلونینگ، بیان، تخلیص و بررسی وضعیت ایمنوتراپی پروتئین کایمیریک

در درمان سرطان پستان TGF α L3-SEB

فروغ یوسفی^۱، سید داور سیادت^۲، محمد مهدی اصلانی^۳، عباس علی ایمانی فولادی^۴، امید نصیری^۳، سید فضل ام... موسوی^۳

- بخش میکروب شناسی و انگل شناسی، دانشکده پزشکی، دانشگاه علوم پزشکی بوشهر، بوشهر، ایران
- گروه سل و تحقیقات ریوی، انسستیتو پاستور ایران، تهران، ایران
- بخش باکتری شناسی، انسستیتو پاستور ایران، تهران، ایران
- مرکز تحقیقات میکروبیولوژی کاربردی، دانشگاه علوم پزشکی بقیه الله، تهران، ایران

چکیده

زمینه و هدف: سوپرآنتی‌زنهاهای باکتریایی قادرند لنفوسیت‌های T را بدون توجه به اختصاصی بودن آنها تحیریک کرده و سبب آزادسازی حجم وسیعی از سایتوکاین‌ها، از لنفوسیت‌های T و مونوسیت‌ها گردند در نتیجه آنها می‌توانند سیستم ایمنی بیمار را در جهت از بین بدن سلولهای سرطانی فعال کنند. در این مطالعه برای اولین بار پروتئین کایمیریک TGF α L3-SEB از طریق اتصال ناحیه سوم فاکتور رشد اپیدرمی به انتروتوکسین تیپ B استافیلوکوکوس اورئوس طراحی و تولید گردید. علاوه‌هه فعالیت ضد توموری آن بر علیه رده سلول سرطان پستان انسانی مورد ارزیابی قرار گرفت.

روش‌ها: پروتئین کایمیریک TGF α L3-SEB از طریق اتصال ژنتیکی انتهایی آمینی *tgfaL3* به انتهای کربوکسی *seb* با واسطه لینکر GGSGSGGG طراحی شد. حامل نوترکیب pET28a:::*tgfaL3-seb* به میزان بیان اشرشیاکولی BL21(DE3) متنقل و به صورت یک پروتئین کایمیریک بیان گردید. سپس فعالیت ضد توموری پروتئین کایمیریک TGF α L3-SEB بر روی رده سلولی سرطان پستان انسانی مورد ارزیابی قرار گرفت.

نتایج: یافته‌های حاصله از طریق PCR colony، هضم آنزیمی و تعیین توالی تایید شد. پروتئین کایمیریک با وزن مولکولی ۳۱ kDa بیان، تخلیص و سپس از طریق آنالیز وسترن بلات تایید گردید.

بررسی اثر ضدتوموری نشان داد. TGF α L3-SEB قادر است رشد سلولهای سرطان پستان را مهار کند.

نتیجه‌گیری: نتایج نشان داد که پروتئین کایمیریک TGF α L3-SEB با موفقیت طراحی، بیان و تخلیص گردیده و احتمالاً می‌تواند به عنوان کاندید انتخابی ایمنوتراپی سرطان پستان مورد استفاده قرار گیرد.

کلید واژه‌ها:

انتروتوکسین تیپ B، استافیلوکوکوس اورئوس، کلونینگ، ایمنوتراپی، فاکتور R رشد اپیدرمی، سرطان پستان

تمامی حقوق نشر برای دانشگاه علوم پزشکی تربت حیدریه محفوظ است.

مقدمه

استفاده از پرتو درمانی، از تقسیم سلولی جلوگیری نموده ولی عملکرد آنها اختصاصی نیست درنتیجه سبب سرکوب سیستم ایمنی فرد می‌گردد (۴). فعال سازی سیستم ایمنی خود بیمار یکی از روش‌های درمانی امیدبخش در جهت کنترل پیشروی

سرطان مشکل عمدۀ سلامت عمومی در همه جهان است (۲، ۱). استفاده از شیمی درمانی و پرتو درمانی سلولهای سرطان، گاهی بواسطه عوارض جانبی جدی و تهدید کننده سلولهای نرمال محدود می‌شود (۳). اکثر داروهای ضد سرطان و

گیرنده ای که از طریق لیگاند مورد هدف قرار می گیرد باید از تراکم بالایی در سطح سلولهای سرطانی برخوردار باشد (۳). در اینجا برای جهت گیری مناسب سوپرآنتی ژن SEB به سمت سلولهای توموری پستان از لیگاند طبیعی α -TGF-EGFR (Epidermal Growth Factor Receptor) است، اتفاقاً شد (۱۳).

ارتباط قابل توجهی بین افزایش بیان EGFR و درجات تمایز و متاستاز مشاهده گردیده است (۱۶-۱۴). EGFR ها در طیف وسیعی از سلولهای تومورال انسانی مانند سرطانهای پستان، گردن، معده، کلون-مقعد، حلق-حنجره، پروستات، مثانه، کلیه، Non-(NSCLC) پانکراس و سرطان غیر سلول کوچک ریه (Small Cell Lung Carcinoma) افزایش بیان دارند. لذا با توجه به این که بیان بیش از اندازه EGFR مشخصه چندین تومور می باشد، بتایراین می تواند به عنوان ابزاری برای عوامل درمانی عمل کرده و بافت سرطانی مورد نظر را بطور اختصاصی مورد هدف قرار دهد (۱۹-۱۷). با توجه به افزایش بیان EGFR در انواع سرطانها، برای جهت گیری دقیق SEB از لیگاند این گیرنده یعنی TGF α استفاده شد. لیگاند TGF α از (TGF α L3) سه ناحیه تشکیل شده است که ناحیه سوم آن (TGF α L3) توانایی اتصال به EGFR را حفظ کرده است، در واقع ناحیه ۲ نقش اصلی را در اتصال به گیرنده بر عهده دارد. برای جلوگیری از فرآیند ورود القا شده از طریق اتصال لیگاند به گیرنده، در این تحقیق بجای استفاده از TGF- α با طول کامل، از ناحیه سوم آن (TGF α L3) استفاده شد، بدین وسیله سوپرآنتی ژنها به سمت بافت سرطانی بیان کننده EGFR جهت گیری شده (۸) و پروتئین کایمیریک TGF α L3-SEB می تواند به عنوان کاندیدای ایمنوتروپی سرطانهایی که در آنها گیرنده فاکتور رشد اپیدرمی افزایش بیان دارد مورد استفاده قرار گیرد.

روش‌ها

مواد و سویه های باکتریایی: آنزیم های محدود الاثر و کیت تخلیص DNA gel extraction kits (Silica based DNA) از شرکت فرمنتاس (Thermo Fisher Scientific, Inc, USA)

سرطان است (۵) استراتژی جالبی که برای این منظور بکار گرفته می شود استفاده از سوپرآنتی ژنها می باشد (۶, ۷). سوپرآنتی ژنها، پروتئینهای باکتریایی یا ویروسی هستند که کلونهای زیادی از سلولهای T را بدون توجه به اختصاصی بودن آنتی ژنی فعال می کنند در نتیجه سبب آزادسازی حجم وسیعی از سایتوکاینهای متنوع مانند IL-1, TNF- γ , IFN- γ , IL-6, IL-8 و IL-12 از سلولهای T و منوستیتها می گردند (۸, ۵). کاربرد سوپر آنتی ژنها در درمان تومورها طی دهه های گذشته مورد بررسی قرار گرفته است (۹, ۱۰). در این تحقیق از سوپرآنتی ژن انتروتوکسین تیپ B استافیلولوکوکوس اورئوس (SEB) استفاده شد که مدل کلاسیکی از سوپرآنتی ژنها می باشد. این سوپرآنتی ژن القاگر قوی فعالیت سلولهای T سیتو توکسیک و تولید سایتوکاین در شرایط *in vivo* می باشد (۵). پس از انتخاب SEB به عنوان القاگر سلولهای T سیتو توکسیک جهت درمان، موضوع مورد بررسی دیگر در این تحقیق تحويل اختصاصی سوپرآنتی ژن به بافت سرطانی بود. تحويل اختصاصی داروی ضد سرطان یک استراتژی امیدبخش درمانی است زیرا کارایی درمان را افزایش داده و سمیت بر روی سلولهای نرمال را کاهش می دهد (۱۱). استراتژیهایی برای جهت گیری دقیق دارو به سمت سلولهای سرطانی در دست بررسی می باشند که شامل اتصال عامل درمانی به آنتی بادی (۱۲) و یا لیگاندهایی است که به ترتیب آنتی ژن اختصاصی و یا گیرنده مرتبط با تومور را شناسایی می کنند، این اتصال سبب می شود که دارو به سمت سلول سرطانی جهت گیری شده و سلولهای نرمال از اثرات سمی دارو محفوظ بمانند (۳).

در این تحقیق برای جهت گیری دقیق سوپرآنتی ژن به سمت سلولهای توموری بجای استفاده از آنتی بادی اختصاصی ضد تومور از لیگاندهای مرتبط با تومور که آنتی ژنستیه کمتر و در نتیجه نیمه عمر بیشتری در گردش خون دارد، استفاده شد (۳). باید در نظر داشت انتخاب لیگاند مناسب درجهت گیری دقیق دارو به سمت سلولهای سرطانی بسیار مهم است و

شرکت Novagen Inc. (Madison, USA) خریداری شدند. رده سلولی سرطان پستان انسانی MDA-MB-468 از انسنتیو پاستور ایران خریداری شد.

طراحی سازه کایمیریک TGF α L3-SEB: پس از بررسی نتایج مطالعه بیوانفورماتیک (۲۰) سازه کایمیریک TGF α L3-SEB به صورتی طراحی گردید که توالی اسید آمینه ناحیه سوم فاکتور رشد اپیدرمی آلفا (TGF α L3) در قسمت انتهای آمینی، پس از آن لینکری مشکل از ۶ اسید آمینه GGSGSGGG و در نهایت توالی اسید آمینه انتروتوکسین تیپ B/ستافیلوکوکوس اورئوس TGF α L3-SEB (SEB) در انتهای کربوکسی پروتئین کایمیر (KMT) قرار بگیرد (شکل ۱).

VCHSGYVGVRCEHADLI GGSGSGGGESQDPKPDELHKASKFTGLMENMKVLYDDNHVSAINVKSIDQFLYFDLIVSIKD
TKLGNYDNVRVEFKNKLADKYDKYVDVFGANYYYQCYFSKKTNINDSHQTDKRKTCMYGGVTEHNGNQLDKYRSITVR
VFEDGKNLLSFDVQTNKKKVTAQELDYLTRHVLVKNKKLYEFNNSPYETGYIKFIENENSFWYDMMPAPGDKFQSKYLM
MYNDNKMVDSDKDVKIEVYLTTEKKK



شکل ۱. تصویر شماتیک سازه کایمیریک TGF α L3-SEB

الکتروفورز گردیده و با رنگ آمیزی در اتیدیوم بروماید آشکار سازی شد و میزان ۲۰ میکرولیتر از محصول بدست آمده جهت تعیین توالی ارسال گردید.

جدا سازی سویه استافیلوکوکوس اورئوس داری توالی انتروتوسین تیپ B (seb+) پس از تایید نهایی سویه های استافیلوکوکوس، حضور ژن انتروتوسین تیپ B (seb+) در آنها از طریق پرایمراهای تشخیصی اختصاصی رفت با توالی ۵' TCGCATCAAAC TGACAAACG3' و پرایمر برگشت با توالی ۳' GCAGGTACTCTATAAGTGCC3' استفاده شد. شرایط PCR شامل واسرشت اولیه در دمای با دمای ۹۴°C برای ۵ دقیقه و به دنبال آن ۲۵ سیکل واسرشت در دمای ۹۴°C به مدت ۱ دقیقه، اتصال پرایرها در دمای ۷۴°C به مدت ۱ دقیقه و گسترش در دمای ۷۲°C به مدت ۱ دقیقه بود. واکنش نهایی به مدت ۱۰ دقیقه در دمای ۷۲°C ادامه یافت. از بین سویه های استافیلوکوکوس اورئوس داری ژن انتروتوسین

خریداری شد. ستون تخلیص (Nickel- Ni-NTA) کیت تخلیص محصول PCR و کیت Qiagen GmbH استخراج DNA ژنومی به ترتیب از شرکتهای Bioneer (Korea) و metabion (Germany) خریداری شدند. سنتز پرایمراهای مورد نیاز و همچنین توالی tgf α -linker به ترتیب توسط شرکتهای ShineGene Molecular Biotech,Inc.(China) نمونه بالینی جدا گردید. باکتریهای اشرشیاکولی TOP10 جهت تکثیر و نگهداری پلاسمید و اشرشیاکولی BL21(DE3) جهت بیان پروتئین نوترکیب و همچنین حامل بیانی pET-28a+ از

تایید سویه استافیلوکوکوس اورئوس با استفاده از تکثیر ژن نوکلئاز A مقاوم به حرارت: جهت تایید نهایی سویه های باکتری استافیلوکوکوس اورئوس بدست آمده از نمونه بالینی از تکثیر قطعه حفاظت شده ژن نوکلئاز A مقاوم به حرارت (nucA) که اختصاصی استافیلوکوکوس اورئوس است، استفاده شد (۲۱-۲۶). پرایمر برگشت جهت تکثیر قطعه ۳۱۸ bp از ژن nucA از ۳' ATGGCTATCAGTAATGTTCG3' و توالی ۵' TTTAGGATGCTTGTTTCAGG3' به عنوان پرایمر رفت و ساخته شد. این واکنش به صورت یک سیکل ابتدایی واسرشت به مدت ۵ دقیقه با دمای ۹۴°C، ۲۵ سیکل اصلی هر سیکل شامل سه مرحله واسرشت اولیه با دمای ۹۴°C و مدت زمان ۵ دقیقه یک دقیقه، مرحله اتصال با دمای ۵۳°C و مدت زمان یک دقیقه و مرحله گسترش با دمای ۷۲°C درجه و مدت زمان یک دقیقه و در انتها نیز یک سیکل نهایی در دمای ۷۲°C به مدت زمان ۵ دقیقه اجرا گردید. محصول PCR روی ژل اگاروز ۱٪

Uniprot (Accession No P01135) از بانک پروتئینی Knowledgebase database دریافت شده و پس از افزودن توالی ژنی لینکر GGSGSGGG، مکان برش آنزیم I BamH در انتهای آمینی و مکان برش آنزیم I EcoR در انتهای کربوکسی قرار داده شد. توالی نهایی توسط شرکت ساخته شد. پس از سنتز، توالی *tgfaL3-linker* تحت هضم توسط آنزیم های EcoRI و BamHI قرار گرفت و سپس تخلیص گردید. جهت تولید سازه کایمیریک *pET28a::tgfaL3-seb* حامل نوترکیب *pET28a::seb* نیز با آنزیم های EcoRI و BamHI تحت هضم آنزیمی قرار گرفت و سپس خالص گردید. هر دو محصول خالص شده در واکنش اتصال وارد و سپس به میزبان اشرشیاکولی TOP10 منتقل گردید. محصول اتصال بر روی محیط LB حاوی آنتی بیوتیک آمپی سیلین کشت داده شد. کلونی های ظاهر شده بر روی محیط کشت LB از نظر حضور *TGfaL3-seb* با استفاده از PCR colony ، هضم آنزیمی و تعیین توالی ارزیابی و تایید گردیدند.

بهینه سازی بیان پروتئین کایمیریک *TGfaL3-SEB* بهینه سازی بیان پروتئین کایمیریک *TGfaL3-SEB* در فراکسیون محلول با توجه به متغیرهای زمان القا، غلظت IPTG و دما ارزیابی گردید. جهت بهینه سازی زمان القا، پس از رسیدن $OD_{600}=0.5$ IPTG با غلظت نهایی 1 mM افزوده شد سپس رسوب باکتری $2, 4, 6$ ساعت و همچنین یک شب پس از القا جمع آوری و میزان باند بیان پروتئین کایمیر در زمانهای ذکر شده مقایسه گردید. در این ارزیابی بهترین زمان القا یک شب پس از افزودن IPTG بود. در آزمون بعدی پس از رسیدن $OD_{600}=0.5$ IPTG با غلظت نهایی 1 mM ، 0.8 mM و 0.5 mM جهت القا افزوده گردید. لوله های کشت به مدت یک شب در دو دمای 30°C و 27°C و بازیابی آنها از طریق SDS-PAGE آنالیز گردید (شکل ۵).

خالص سازی پروتئین کایمیریک *TGfaL3-SEB* پس از تایید بیان پروتئین در فاز محلول، تخلیص در شرایط طبیعی و بدون استفاده از مواد دنا توره کننده انجام شد. با توجه به این

تیپ B (*seb+*)، یک سویه جهت همسانه سازی سازه *TGfaL3*-*seb* SEB انتخاب گردید.

تولید حامل نوترکیب *pET28a::seb* جهت تکثیر قطعه ۷۲۰ bp کد کننده ژن انtron توکسین تیپ B از پرایمر رفت با توالی ۳' ۵' AGCAGAATTCACTGGAGAGTCACCCAG ۳' جایگاه برش آنزیمی برای EcoRI و پرایمر برگشت با توالی ۵' TAACGAAGCTTCACTTTCTTGTCG3' جایگاه برش آنزیمی برای HindIII استفاده شد. شرایط PCR شامل شرایط PCR شامل واسرشت اولیه در دمای با دمای 94°C برای ۵ دقیقه و به دنبال آن 30°C سیکل واسرشت در 63°C دمای 94°C به مدت ۱ دقیقه، اتصال پرایرها در دمای 72°C به مدت ۱ دقیقه و گسترش در دمای 72°C به مدت ۱ دقیقه بود. واکنش نهایی به مدت ۱۰ دقیقه در دمای 72°C ادامه یافت. محصول PCR بدست آمده توسط آنزیم های EcoRI و HindIII تحت هضم آنزیمی قرار گرفت و پس از آن با استفاده از کیت pET28a تخلیص محصول PCR خالص سازی گردید. پلاسمید *pET28a* نیز توسط آنزیم های EcoRI و HindIII تحت هضم آنزیمی قرار گرفت و سپس با استفاده از روش رسوب با اتانول تخلیص گردید. جهت تولید حامل نوترکیب *pET28a::seb* محصول PCR و حامل *pET28a* خالص شده به همراه آنزیم T4 لیگاز در واکنش اتصال وارد گردیدند. محصول واکنش اتصال با استفاده از روش شوک حرارتی به میزبان اشرشیاکولی (Luria-bertani) TOP10 منتقل گردیده و سپس بر روی محیط 100 LB حاوی آنتی بیوتیک آمپی سیلین با غلظت نهایی $100\text{ }\mu\text{g/ml}$ در میلی لیتر کشت داده شد. جهت اطمینان از حضور *TGfaL3-seb* PCR با استفاده از پرایمرهای T7 بر روی کلونهای بدست آمده انجام شد سپس پلاسمیدهای نوترکیب از کلونها استخراج شده و مجدد تحت هضم آنزیمی قرار گرفتند. در نهایت $20\text{ }\mu\text{l}$ میکرولیتر از پلاسمید استخراج شده جهت توالی یابی ارسال گردید.

همسانه سازی سازه *TGfaL3-seb* جهت تولید سازه کایمیریک *TGfaL3-seb*، توالی مربوط به ناحیه سوم

TCGI% (Inhibition XTT) از طریق سنجش ارزیابی و با استفاده از فرمول زیر محاسبه گردید.

$$\text{TCGI\%} = \frac{1 - (\text{A test-Ab}) / (\text{Ac-Ab})}{100}$$

A_{test} = جذب نوری سلولهای سرطانی رشد یافته در حضور سلول افکتور و فیوژن پروتئین

Ab = جذب نوری محیط کشت

Ac = جذب نوری سلولهای سرطانی در محیط کشت

نتایج

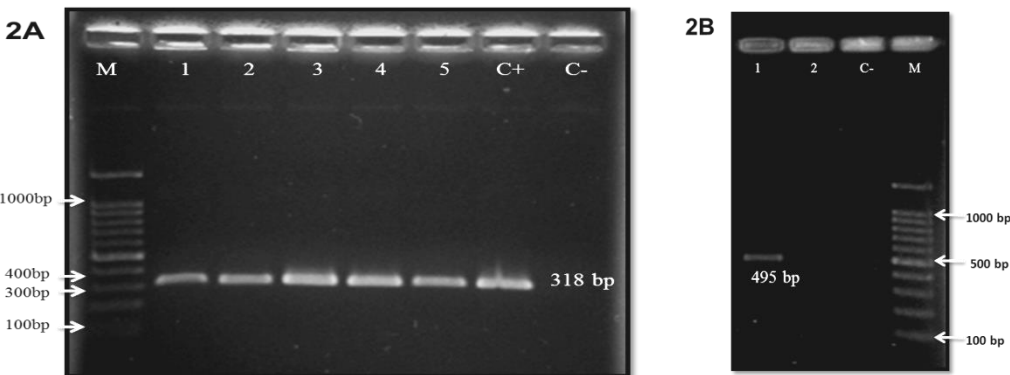
شناسایی سویه $seb+$ استافیلیکوکوس اورئوس: برای تایید سویه های استافیلیکوکوس اورئوس بدست آمده از نمونه های بالینی یک قطعه حفاظت شده ۳۱۸ bp از ژن نوکلئاز A اختصاصی استافیلیکوکوس اورئوس با استفاده از PCR تکثیر شد (شکل ۲A). پس از تایید نهایی سویه های استافیلیکوکوس اورئوس، جهت شناسایی ژن انتروتوكسین تیپ B (seb) از پرایمرهای شناسایی ژن مذکور استفاده گردید و در نهایت یک سویه $seb+$ استافیلیکوکوس اورئوس جهت همسانه سازی انتخاب گردید (شکل ۲B).

همسانه سازی ژن seb پس از انتخاب سویه $seb+$ استافیلیکوکوس اورئوس، توالی کد کننده ژن انتروتوكسین تیپ B با استفاده از پرایمرهای همسانه سازی تکثیر شد و باند 720 bp مربوطه پس از الکتروفورز بر روی ژل آگاروز و رنگ آمیزی با اتیدیوم بروماید آشکار سازی شد (شکل ۳A). جهت تایید همسانه سازی ژن seb در کلونی های بدست آمده، PCR با استفاده از پرایمرهای T7 colony PCR هضم آنزیمی انجام شد و به ترتیب باندهای باند 1020 bp (bp) ۷۲۰ ژن seb + ۳۰۰ bp از حامل (شکل ۳B) و ۷۲۰ bp مربوط به ژن seb بر روی ژل آگاروز ۱٪ مشاهده گردید (شکل ۳C). در نهایت نتیجه توالی یابی پلاسمید نوترکیب pET28a:::seb در نشان داد که همسانه سازی با موفقیت انجام شده و ژن seb در چارچوب صحیح خوانش قرار گرفته است.

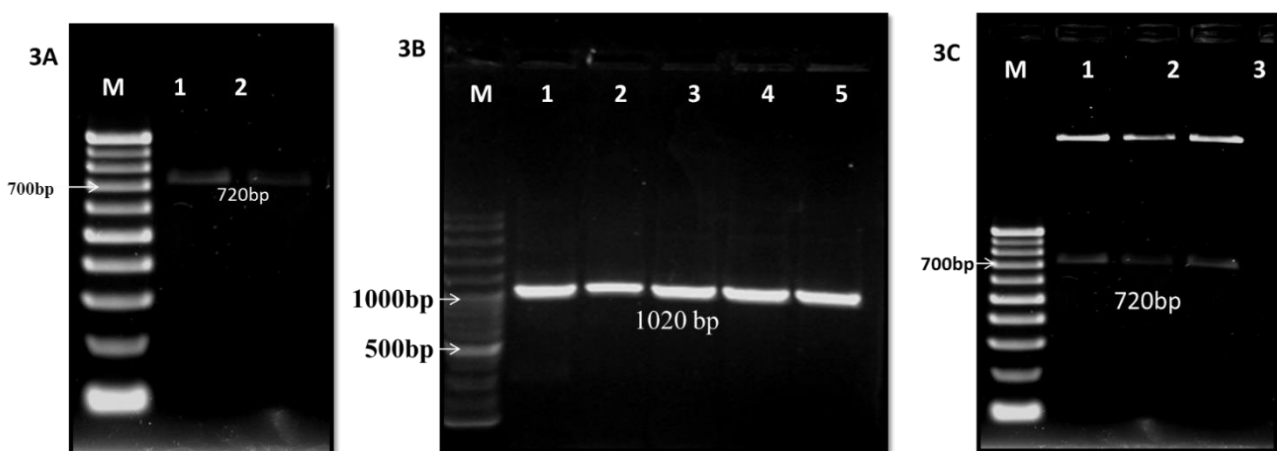
پروتئین کایمیریک مورد نظر با دنباله ۶ هیستیدین بیان شده بود از ستون Ni-NTA جهت تخلیص پروتئین نوترکیب استفاده شد. باکتری اشرشیاکولی BL21(DE3) حاوی پلاسمید کایمیریک pET28a:::tgfaL3-seb رسیدن ۰/۵ OD600 با IPTG به غلضت نهایی mM ۰/۵ به مدت یک شب القا گردید. سپس باکتریها با سانتریفیوژ جمع آوری شده و رسوب آنها در ۵ میلی لیتر بافر لیز کننده و با استفاده از امواج فرماصوت با شرایط ۴-۲۴ پالس ۱۵ ثانیه ای با قدرت ۳/۵ دستگاه Sonifier 450 لیز گردید. پس از سانتریفیوژ، مایع رویی بر روی ستون تخلیص Ni-NTA قرار گرفت و پس از شستشو با بافرهای حاوی ۲۰ میلی مولار و ۵۰ میلی مولار ایمیدازول، پروتئین کایمیریک محلول، در مجاورت بافر حاوی ۳۰۰ میلی مولار ایمیدازول از ستون جدا گردید و در بافر تعلیق قرار گرفت و سپس در برابر بافر PBS دیالیز شد. پس از انجام SDS-PAGE پروتئین TGFαL3-SEB بر روی ژل ۱۲.۵٪ پلی اکریلامید مشاهده گردید.

آنالیز لکه گذاری وسترن: جهت تایید بیان پروتئین کایمیریک TGFαL3-SEB آنالیز لکه گذاری وسترن با استفاده از آنتی بادی پلی کلونال ضد هیستیدین انجام شد.

بررسی مهار رشد سلول سرطانی در شرایط *in vitro*: سلولهای سرطان پستان انسانی MDA-MB-468 که دارای گیرنده فاکتور رشد اپیدرمی می باشند به عنوان سلول هدف به تعداد $10^4 \times 3$ در هر چاهک پلیت ۹۶ خانه کشت داده شد. پس از یک شب گرمگذاری، سلولهای طحال جدا شده از موش BALB/c سالم به عنوان سلول افکتور به نسبت سلول افکتور/هدف (E:T) ۱:۳۰ در حجم نهایی $100 \mu\text{l}$ در حضور غلظتهاي $0.5 \text{ ng/ml}, 0.5 \text{ }, 0.5 \text{ }, 0.5 \text{ }, 0.5 \text{ }, 0.5 \text{ }$ از فیوژن پروتئین SEB و همچنین پروتئین TGFαL3-SEB در دمای 37°C ۷۲ ساعت در درصد مهار رشد سلول سرطانی Tumor cell Growth



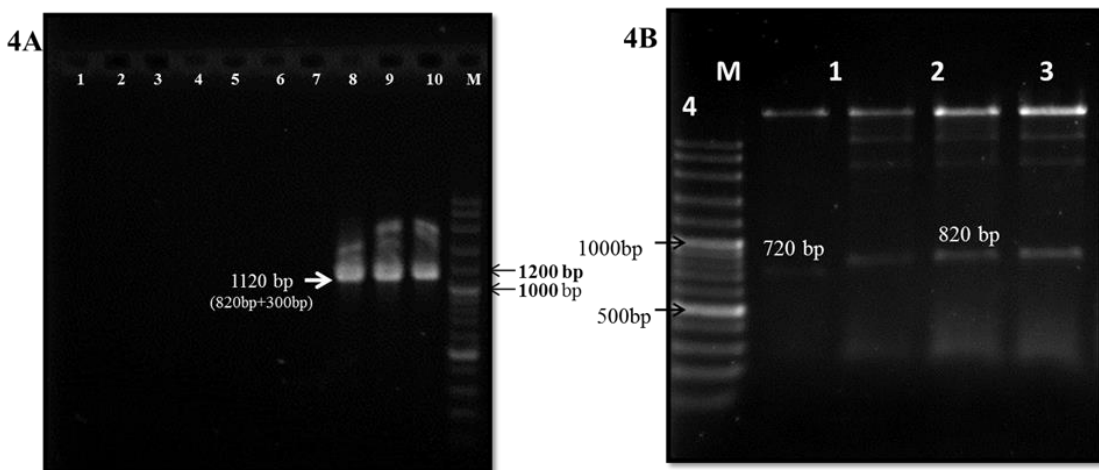
شکل ۲. (2A): تکثیر ژن *nucA* با استفاده از PCR. ستون ۱، ۲ و ۳ محصول تکثیر ژن *nucA* کنترل مثبت استافیلوکوکوس اورئوس ATCC 25923 کنترل منفی استافیلوکوکوس ساپروفیتیکوس ATCC 49453 مارکر وزن مولکولی. (2B): شناسایی سویه *seb*+ استافیلوکوکوس اورئوس با استفاده از PCR. ستون ۱ کنترل بدون DNA. ستون ۲ و ۳ سویه *seb*+ استافیلوکوکوس اورئوس، کنترل مثبت استافیلوکوکوس اورئوس ATCC 14485 کنترل منفی استافیلوکوکوس اورئوس 6538 ATCC مارکر وزن مولکولی. سویه *seb*+ انتخاب استافیلوکوکوس اورئوس مشاهده شده در ستون ۳ جهت همسانه سازی مورد



شکل ۳. همسانه سازی ژن *seb* (3A): تکثیر ژن *seb* با استفاده از پرایمرهای همسانه سازی. ستون ۱ و ۲ باند ۷۲۰ bp مربوط به ژن *seb* ستون M مارکر وزن مولکولی. (3B): نتیجه PCR colony ۱-۵ نشان دهنده حضور باند ۱۰۲۰ bp مربوط به ژن *seb* و وکتور M مارکر وزن مولکولی. (3C): هضم آنزیمی وکتور pET28a::seb با استفاده از آنزیم های *EcoRI* و *HindIII*. ستونهای ۱-۳ حضور باند ۷۲۰ bp ژن *seb* جدا شده از حامل pET28a M مارکر وزن مولکولی

تحت هضم آنزیمی با *EcoRI* و *BamHI* قرار گرفتند. پس از هضم آنزیمی قطعه ۸۲۰ bp مربوط به ژن *tgfa13-seb* از حامل pET28a از ۳ کلون انتخاب شده جدا گردید (شکل ۴). در نهایت نتیجه تعیین توالی پلاسمید نوترکیب pET28a::: در چارچوب صحیح خوانش قرار *tgfa13-seb* نشان داد که همسانه سازی با موفقیت انجام شده و ژن کایمیریک *tgfa13-seb* در چارچوب صحیح خوانش قرار گرفته است.

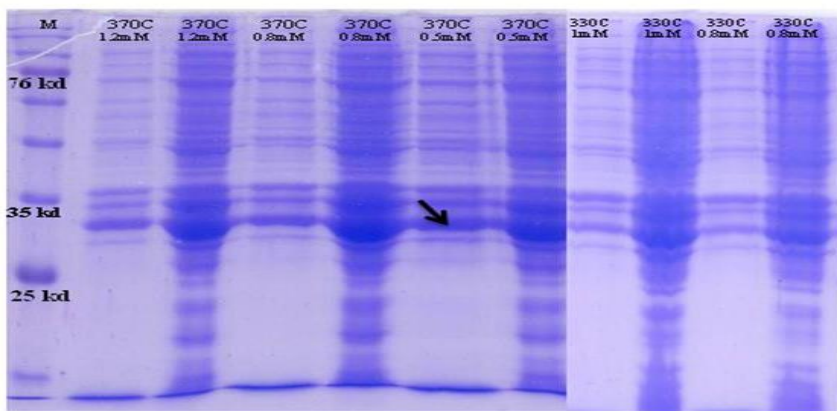
همسانه سازی ژن کایمیریک *tgfa13-seb* جهت تایید همسانه سازی ژن *tgfa13-seb* در کلونی های بدست آمده، colony PCR با استفاده از پرایمرهای T7 انجام شد و باند (۱۱۲۰ bp) ۸۲۰ bp ژن *seb* (۳۰۰ bp از حامل) مربوط به ژن کایمیریک *tgfa13-seb* در ۳ کلون از ۱۰ کلون انتخاب شده پس از رنگ آمیزی با اتیدیوم بروماید بر روی ژل آگاروز ۱٪ مشاهده گردید (شکل ۴). سپس پلاسمید از ۳ کلون مذکور استخراج و



شکل ۴. همسانه سازی ژن *tgfal3-seb* با استفاده از پرایمرهای T7 بر روی ۱۰ کلون انتخاب شده. ستونهای ۷-۹ دارای ژن *tgfal3-seb* با وزن مولکولی ۸۲۰ bp بهمراه ۳۰۰ bp از وکتور pET28a می‌باشند. ستونهای ۶-۱ فاقد ژن *BamHI* می‌باشند. ستون M مارکر وزن مولکولی می‌باشد. (4B). نتیجه هضم آنزیمی حامل‌های نوترکیب با آنزیم‌های *BamHI* و *EcoRI* ستون ۱ هضم آنزیمی حامل مربوط به ژن *seb* ستون ۲ هضم آنزیمی حامل مربوط به ژن *tgfal3-seb* و *pET28a::tgfal3-seb* ستون ۳ مربوط به ژن *tgfal3-seb* و *pET28a::seb* مارکر وزن مولکولی ۸۲۰ bp و جدا شدن قطعه *pET28a::seb* مربوط به ژن *seb* ستون M مارکر وزن مولکولی ۱۱۲۰ bp.

در دمای 37°C بیش از ۵۰٪ از پروتئین کایمیریک-TGF α L3 در فاز محلول قرار می‌گیرد. بیان پروتئین در فاز محلول علاوه بر حفظ ساختار پروتئین، سبب سهولت تخلیص پروتئین نیز می‌گردد (شکل ۵).

TGF α L3-SEB: بهینه سازی بیان پروتئین کایمیریک سازی بیان پروتئین کایمیریک TGF α L3-SEB در فراكسيون محلول با توجه به متغيرهای زمان القا، غلضت IPTG و دما ارزیابی گردید. مقایسه باندهای بیان نشان داد که در صورت القا بیان با غلضت نهایی 0.5 mM IPTG به مدت یک شب

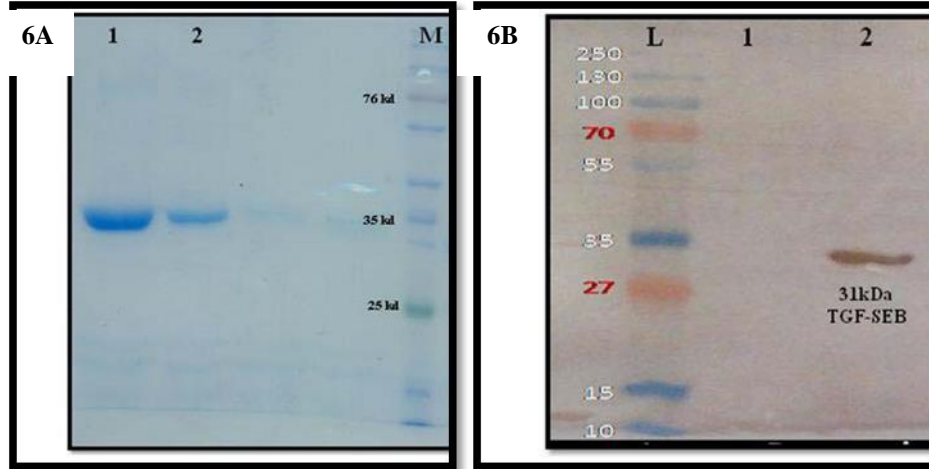


شکل ۵. بهینه سازی بیان پروتئین کایمیریک TGF α L3-SEB. باند نشان داده شده با فلاش بهترین باند بیانی در فاز محلول می‌باشد که در شرایط القا با غلضت نهایی 0.5 mM IPTG به مدت یک شب در دمای 37°C بدست آمد. ستون M مارکر وزن مولکولی

بیان شده بود از ستون Ni-NTA برای تخلیص پروتئین نوترکیب استفاده شد. پروتئین کایمیریک TGF α L3-SEB در بافر حاوی 300 mM ایمیدازول تعیق گشت. پس از انجام-SDS-

TGF α L3-SEB: با توجه به این پروتئین کایمیریک مورد نظر با دنباله ۶ هیستیدین

آنالیز لکه گذاری و سترن با استفاده از آنتی بادی پلی کلونال ضد هیستیدین انجام شد و باند ۳۱ kDa پروتئین کایمیریک TGFnL3-SEB پس از آشکارسازی با سوبسترازی دی آمینو بنزیدین (DAB) مشاهده گردید (شکل ۶B).



شکل ۶. تخلیص و تایید پروتئین کایمیریک (6A). TGFαL3-SEB با استفاده از ستون Ni-NTA ستونهای ۱ و ۲ پروتئین کایمیریک TGFαL3-SEB با وزن مولکولی ۳۱ kDa و خلوص بالای ۹۰٪ مارکر وزن مولکولی M. آنالیز لکه گذتری و سترن. پروتئین کایمیریک TGFαL3-SEB با استفاده از آنتی بادی پلی کلونال ضد برچسب هیستیدین، ستون ۱ میزبان BL21 القا نشده، ستون ۲ پروتئین کایمیریک TGFαL3-SEB پس از القا، L مارکر وزن مولکولی

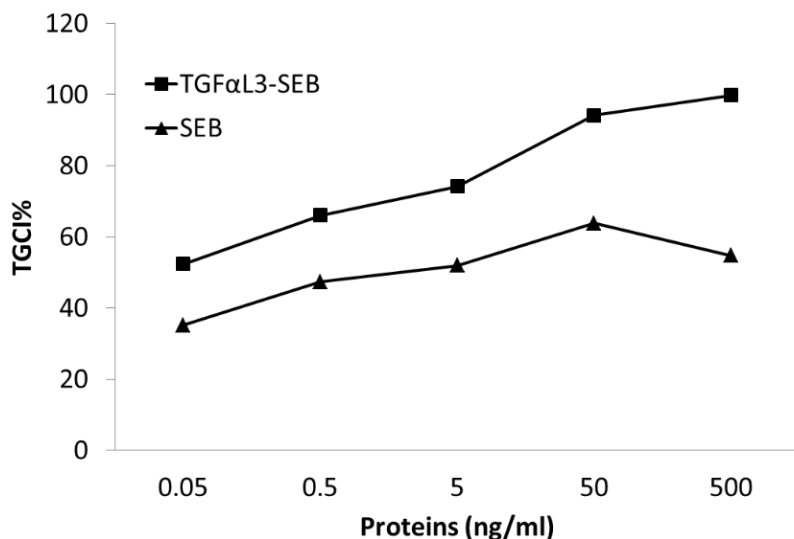
سوپرآنتی ژنها القاگر قوی سلولهای T سیتو توکسیک می باشدند، آنها قادرند تعداد زیادی از سلولهای T را بدون توجه به اختصاصیت آنتی ژنی آنها فعال می کنند درنتیجه سبب آزادسازی حجم وسیعی از سایتوکاینهای متعدد از سلولهای T و منوسيتها می گردند (۸,۵) در نتیجه فعالیت ضد توموری سیستم ایمنی را افزایش داده، از رشد تومور و متاستاز جلوگیری کنند (۵). کاربرد سوپر آنتی ژنها در درمان تومورها چندین دهه است که مورد بررسی قرار گرفته است (۹,۱۰).

علت رو آوردن محققان به درمانهای جدید ضد سرطان مشکلاتی است که در شیمی درمانی و اشعه درمانی تومور مشاهده می شود. فعال سازی سیستم ایمنی خود بیمار یکی از روشهای درمانی امیدبخش در کنترل پیشروی سرطان می باشد (۵) و استفاده از سوپرآنتی ژن ها یکی از راه های فعال سازی سیستم ایمنی بیمار می باشد. Perabo و همکاران نشان دادند سلولهای تک هسته ای خون محیطی فعال شده با SEB

PAGE پروتئین TGFαL3-SEB خالص با وزن تقریبی ۳۱ kDa بر روی ژل ۱۲/۵٪ پلی اکریلامید مشاهده گردید (شکل ۶A). به دلیل حضور دنباله ۶ هیستیدینی در انتهای آمینی پروتئین TGFαL3-SEB کایمیریک جهت تایید بیان پروتئین کایمیریک

مهار رشد سلولهای سرطان پستان انسان توسط پروتئین کایمیریک TGFαL3-SEB: بررسی اثر ضد توموری در شرایط in vitro نشان داد که پروتئین کایمیریک TGFαL3-SEB قادر است مانند یک پل بین سلولهای افکتور و سلول سرطانی قرار گرفته و در نهایت سبب لیز سلولهای سرطان پستان گردد. در این مطالعه سلول MDA-MB-468 سرطان پستان انسانی دارای گیرنده فاکتور رشد اپیدرمی به عنوان سلول هدف و سلولهای طحال به عنوان سلول افکتور مورد استفاده قرار گرفت. نتایج نشان داد که غلظتهای ۰/۰۵، ۰/۰۵، ۰/۰۵ و ۰/۰۰۵ ng/ml به ترتیب سبب ۳۸/۳۲٪، ۴۲/۵٪، ۱۸/۷۴٪ و ۸/۹۹٪ مهار رشد سلول توموری MDA-468-SEB شدند در حالیکه پروتئین TGFαL3-SEB در غلظتهای مشابه سبب ۲/۳۵٪، ۹/۴٪، ۹/۵٪ و ۷/۶٪ مهار رشد سلول توموری گردید (شکل ۷).

بحث



شکل ۷. بررسی اثر ضدتوموری پروتئین کایمیریک TGF α L3-SEB بر روی سلولهای سرطان پستان انسانی

لازم به ذکر است لیگاندهای طبیعی بواسطه میانکنش لیگاند-گیرنده سبب ورود القا شده لیگاند-گیرنده می‌شوند درنتیجه مانع حضور سوپرآنتی ژنها در سطح سلول و متعاقباً فعال کردن سلولهای T می‌گردد، بنابراین مشکل که با آن مواجه بودیم ورود القا شده لیگاند-SEB در نتیجه اتصال لیگاند به گیرنده بود. لیگاند TGF α از سه ناحیه تشکیل شده است که ناحیه سوم آن (TGF- α L3) توانایی اتصال به EGFR را حفظ کرده ولی فعالیت میتوژنیک را از دست داده است، در واقع ناحیه ۳ نقش اصلی را در اتصال به گیرنده بر عهده دارد. برای جلوگیری از فرآیند ورود القا شده از طریق اتصال لیگاند به گیرنده، ما در این تحقیق بجای استفاده از TGF- α با طول کامل ناحیه سوم آن (TGF- α L3) که میتوژن ناقص می‌باشد، استفاده کردیم بدین وسیله از ورود القا شده لیگاند-گیرنده به داخل سلول جلوگیری شده و سوپرآنتی ژن SEB به سمت بافت سرطانی بیان کننده EGFR جهت گیری خواهد شد. با این راهکار علاوه بر اینکه اتصال TGF- α L3 به EGFR سبب ورود القا شده نگردیده در مقایسه با آنتی بادی منوکلونال خاصیت آنتی ژنیک کمتری داشته و نیمه عمر بیشتری در گردش خون خواهد داشت (۸).

در بررسی In vitro پروتئین کایمیریک TGF α L3-SEB بر روی سلولهای سرطان پستان انسانی MDA-MB-468 اثر مهاری

بطور گستردگی سایتوکاین های IL-2، TNF- α و IFN- γ را ترشح می کند و قادر است سبب آپوپتوز سلولهای سرطان مثانه شود. زیرا مشخص شده است که سیتو توکسیسیتی القا شده توسط سوپرآنتی ژنها بطور اولیه از طریق آپوپتوز واسطه گری می شود (۲۷، ۲۸). همکاران (۲۰۱۱) برای کاهش توکسیسیتی و افزایش خاصیت سوپرآنتی ژنی SEC2 (Staphylococcal Entrotoxin Type C) عنوان عامل ضدتوموری، با ایجاد جهش نقطه ای در دو موقعیت Thr20 و Gly22 مولکول SEC2 جهش یافته بنام SAM-3 کاریابی SAM-3 در ایجاد کردند که خاصیت سوپرآنتی ژنی آن بهبود یافته بود و آنرا عنوان کاندیدای قوی در درمان سرطان معرفی کردند (۲۹). ایمانی و همکاران (۲۰۰۸) کاریابی SEB در درمان فیبروسارکوما گزارش کردند. نتایج آنها پیشنهاد می کند که مرگ سلولهای توموری درنتیجه افزایش فعالیت سلولهای T سیتو توکسیک و افزایش سطوح سایتوکاینها در اثر تزریق درون وریدی SEB است و SEB کاندیدای خوبی به عنوان داروی جدید در درمان فیبروسارکوما مطرح می باشد (۵). همچنین Liu و همکاران از ترکیب SEB و TNF- α در درمان سرطان معده در مدل حیوانی استفاده کردند (۳۰). در تحقیق حاضر از SEB به عنوان عامل ضد سرطان استفاده و با بکارگیری لیگاند TGF α سوپرآنتی ژن SEB به سمت سلولهای بیان کننده EGFR جهت گیری شد.

بخشی آن در مدل های حیوانی را هر چه بیشتر روشن خواهد کرد.

نتیجه‌گیری

نتایج به دست آمده از PCR colony، هضم آنزیمی و تعیین توالی نشان داد که همسانه سازسی ژن کایمیریک *tgfal3-seb* در وکتور pET28a با موفقیت انجام شده و این ژن کایمیریک در SDS-PAGE چارچوب صحیح خوانش قرار گرفته است. آنالیز TGF α L3-SEB در فاز محلول میزان پروکاریوتوی (DE3)BL21 را تایید کرد. پروتئین کایمیریک TGF α L3-SEB بطور چشم گیری سبب *in vitro* مهار رشد سلولهای تومور پستان انسانی در شرایط گردید. در حال حاضر پروتئین کایمیریک TGF α L3-SEB با خلوص بالا به عنوان کاندیدای احتمالی ایمنوتراپی سرطان جهت ادامه تحقیق و انجام آزمونهای *in vivo* در اختیار می باشد.

تشکر و قدردانی

این تحقیق با حمایت مالی انتستیتو پاستور ایران به انجام رسیده است که بدین وسیله از مرکز فوق قدردانی می گردد.

تضاد منافع

در این پژوهش هیچ گونه تعارض منافعی توسط نویسندها گزارش نشده است.

References

1. Siegel R, Naishadham D, Jemal A. Cancer statistics, 2013. CA: a cancer journal for clinicians. 2013;63(1):11-30.
2. Siegel R, Ma J, Zou Z, Jemal A. Cancer statistics, 2014. CA: a cancer journal for clinicians. 2014;64(1):9-29.
3. Allen TM. Ligand-targeted therapeutics in anticancer therapy. Nature Reviews Cancer. 2002;2(10):750-63.
4. Sundstedt A, Celander M, Öhman MW, Forsberg G, Hedlund G. Immunotherapy with tumor-targeted superantigens (TTS) in combination with docetaxel results in synergistic anti-tumor effects. International immunopharmacology. 2009;9(9):1063-70.

وابسته به دوز قابل توجهی نشان داد. نتایج نشان داد که غلظت ۵ ng/ml از پروتئین SEB قادر است سبب ۵۰٪ مهار رشد سلول توموری در غلظت ۰/۰۵ ng/ml از پروتئین کایمیریک TGF α L3-SEB یعنی حدود ۱۰۰ برابر کمتر از پروتئین SEB بدست آمد که به علت وجود لیگاند TGF α و اتصال هدفمند پروتئین کایمیریک به رسپورهای فاکتور رشد اپیدرمی موجود در سطح سلول توموری می باشد. همچنین پروتئین کایمیریک در غلظت ۰/۰۵ ng/ml بر خلاف پروتئین SEB سبب ۱۰۰٪ مهار رشد سلول توموری گردید در حالیکه ۰/۰۵ ng/ml تنها سبب ۷/۵۴٪ مهار رشد سلول توموری گردید.

مطالعه حاضر نخستین گزارش از هدفمند ساختن جهت گیری انتروتوكسین تیپ B/ستافیلولکوکوس اورئوس با استفاده از لیگاند TGF α و تولید پروتئین نوترکیب به هدف ایمنوتراپی سرطان پستان می باشد.

در مطالعه حاضر پروتئین کایمیریک TGF α L3-SEB به صورت نوترکیب بیان و خالص سازی شد و به عنوان کاندیدای ایمنوتراپی سرطان پستان در شرایط *in vitro* مورد ارزیابی قرار گرفت. مطالعات آتی به صورت *in vivo* قابلیت این پروتئین در القا سیستم ایمنی سلولی، الگوی سایتوکینی تولید شده و اثر

5. Fooladi AAI, Sattari M, Hassan ZM, Mahdavi M, Azizi T, Horii A. In vivo induction of necrosis in mice fibrosarcoma via intravenous injection of type B staphylococcal enterotoxin. Biotechnology letters. 2008;30(12):2053-9.
6. Solanki LS, Srivastava N, Singh S. Superantigens: a brief review with special emphasis on dermatologic diseases. Dermatology online journal. 2008;14(2).
7. Ortega E, Abriouel H, Lucas R, Gálvez A. Multiple roles of *Staphylococcus aureus* enterotoxins: pathogenicity, superantigenic activity, and correlation to antibiotic resistance. Toxins. 2010;2(8):2117-31.

8. Xu Q, Zhang X, Yue J, Liu C, Cao C, Zhong H, et al. Human TGFalpha-derived peptide TGFalphaL3 fused with superantigen for immunotherapy of EGFR-expressing tumours. *BMC biotechnology*. 2010;10(1):91.
9. Adkins I, Sadilkova L, Palova-Jelinkova L, editors. *Bacterial Toxins in Cancer Immunotherapy. Forum on Immunopathological Diseases and Therapeutics*; 2013: Begell House Inc.
10. Adkins I. *Bacterial Toxins Are Successful Immunotherapeutic Adjuvants and Immunotoxins*. Molecular Vaccines: Springer; 2014. p. 537-49.
11. Hussain S, Plückthun A, Allen TM, Zangemeister-Wittke U. Antitumor activity of an epithelial cell adhesion molecule–targeted nanovesicular drug delivery system. *Molecular cancer therapeutics*. 2007;6(11):3019-27.
12. Hemalatha V, Srikanth P, Mallika M. Superantigens-Concepts, clinical disease and therapy. *Indian journal of medical microbiology*. 2004;22(4):204.
13. Bhargava R, Gerald WL, Li AR, Pan Q, Lal P, Ladanyi M, et al. EGFR gene amplification in breast cancer: correlation with epidermal growth factor receptor mRNA and protein expression and HER-2 status and absence of EGFR-activating mutations. *Modern pathology*. 2005;18(8):1027-33.
14. Grupka NL, Lear-Kaul KC, Kleinschmidt-DeMasters BK, Singh M. Epidermal growth factor receptor status in breast cancer metastases to the central nervous system: comparison with HER-2/neu status. *Archives of pathology & laboratory medicine*. 2004;128(9):974-9.
15. Bo A-h, Hou J-c, Lan Y-h, Tian Y-t, Zhang J-y. Over-expression of EGFR in breast cancer. *Chinese Journal of Cancer Research*. 2008;20(1):69-72.
16. Meche A, Cimpean AM, Raica M. Immunohistochemical expression and significance of epidermal growth factor receptor (EGFR) in breast cancer. *Rom J Morphol Embryol*. 2009;50(2):217-21.
17. Aziz S, Pervez S, Khan S, Kayani N, Rahbar M. Epidermal growth factor receptor (EGFR) as a prognostic marker: an immunohistochemical study on 315 consecutive breast carcinoma patients. *Journal-pakistan medical association*. 2002;52(3):104-10.
18. Stratford AL, Habibi G, Astanehe A, Jiang H, Hu K, Park E, et al. Epidermal growth factor receptor (EGFR) is transcriptionally induced by the Y-box binding protein-1 (YB-1) and can be inhibited with Iressa in basal-like breast cancer, providing a potential target for therapy. *Breast Cancer Res*. 2007;9(5):R61.
19. Ueno NT, Zhang D. Targeting EGFR in triple negative breast cancer. *Journal of Cancer*. 2011;2:324.
20. Imani-Fooladi AA, Yousefi F, Mousavi SF, Amani J. In Silico Design and Analysis of TGF α L3-SEB Fusion Protein as “a New Antitumor Agent” Candidate by Ligand-Targeted Superantigens Technique. *Iranian journal of cancer prevention*. 2014; 7(3): 152-164.
21. Becker K, Larsen AR, Skov RL, Paterson GK, Holmes MA, Sabat AJ, et al. Evaluation of a modular multiplex-PCR methicillin-resistant *Staphylococcus aureus* detection assay adapted for *mecC* detection. *Journal of clinical microbiology*. 2013;51(6): 1917-1919.
22. Botaro B, Cortinhas C, Março L, Moreno J, Silva L, Benites N, et al. Detection and enumeration of *Staphylococcus aureus* from bovine milk samples by real-time polymerase chain reaction. *Journal of dairy science*. 2013;96(11):6955-64.
23. Medhus A, Slettemeås JS, Marstein L, Larssen KW, Sunde M. Methicillin-resistant *Staphylococcus aureus* with the novel *mecC* gene variant isolated from a cat suffering from chronic conjunctivitis. *Journal of Antimicrobial Chemotherapy*. 2013;68(4):968-9.
24. Sunagar R, Deore S, Deshpande P, Rizwan A, Sannejal A, Sundareshan S, et al. Differentiation of *Staphylococcus aureus* and *Staphylococcus epidermidis* by PCR for the fibrinogen binding protein gene. *Journal of dairy science*. 2013;96(5):285-287.

25. Velasco V, Sherwood JS, Rojas-García PP, Logue CM. Multiplex Real-Time PCR for Detection of *Staphylococcus aureus*, *mecA* and Panton-Valentine Leukocidin (PVL) Genes from Selective Enrichments from Animals and Retail Meat. *PloS one*. 2014;9(5):e976.۱۷
26. Yuan H, Liu Y, Jiang X, Xu S, Sui G. Microfluidic chip for rapid analysis of cerebrospinal fluid infected with *Staphylococcus aureus*. *Analytical Methods*. 2014;6(7):2015-9.
27. Perabo FG, Willert PL, Wirger A, Schmidt DH, Von Ruecker A, Mueller SC. Superantigen-activated mononuclear cells induce apoptosis in transitional cell carcinoma. *Anticancer research*. 2005;25(5):3565-73.
28. Perabo FG, Willert PL, Wirger A, Schmidt DH, Wardelmann E, Sitzia M, et al. Preclinical evaluation of superantigen (staphylococcal enterotoxin B) in the intravesical immunotherapy of superficial bladder cancer. *International journal of cancer*. 2005;115(4):591-8.
29. Xu M, Wang X, Cai Y, Zhang H, Yang H, Liu C, et al. An engineered superantigen SEC2 exhibits promising antitumor activity and low toxicity. *Cancer Immunology, Immunotherapy*. 2011;60(5):705-13.
30. Lu X, Cheng C, Wang G, Shu X, Ma J, Tong Q. Synergistic Enhancement of Cancer Therapy Using a Combination of Fusion Protein MG7-scFv/SEB and Tumor Necrosis Factor Alpha. *Protein and peptide letters*. 2013;20(4):467-72.

Cloning, expression, purification and the study of immunotherapy status of TGF α L3-SEB chimeric protein in breast cancer treatment

Forough Yousefi ¹, Seyed Davar Siadat ², Mohammad Mehdi Aslani ³, Abbas Ali Imani-Fooladi ⁴, Omid Nasiri ⁵, Seyed Fazlollah Mousavi ^{6*}

1. Department of Microbiology and Parasitology, Faculty of Medicine, Bushehr University of Medical Sciences, Bushehr, Iran
2. Department of Mycobacteriology and Pulmonary Research, Pasteur Institute of Iran, Tehran, Iran
3. Department of Bacteriology, Pasteur Institute of Iran, Tehran, Iran
4. Applied Microbiology Research center, Baqiyatallah University of Medical Sciences, Tehran, Iran

Corresponding author: mousavi@pasteur.ac.ir

Abstract

Background & Aim: Bacterial superantigens, stimulate polyclonal T cells irrespective of their antigen specificity, resulting in a massive release of cytokines from T cells and monocytes, and suggest that they could be candidates of new antitumor agents. Recent attempts have been done to specifically target superantigens towards tumors. Here, we evaluate TGF α L3-SEB fusion protein as a new antitumor candidate by genetically fusing the third loop of transforming growth factor alpha (TGFlalphaL3) to staphylococcal enterotoxin type B.

Methods: Recombinant TGF α L3-SEB sequence was constructed by fusing the N-terminal of *tgfal3* and C-terminal of *seb* using hydrophobic GGSGSGGG amino acid linker. In this study, gene coding for the SEB superantigen was amplified. The PCR product containing the *seb* gene was digested by EcoRI and HindIII and cloned in pET28a expression vector. Then the synthetic tgf α -linker sequence was digested by BamHI and EcoRI and cloned in pET28::seb vector. The recombinant pET28:tgf α L3-seb transformed into *E. coli* BL21(DE3). Expression of recombinant protein was examined by SDS-PAGE and western blotting. *In vitro* antitumor activity against MDA-MB-468, human breast cancer cells expressing EGFR, was evaluated.

Results: Cloning of *tgfal3-seb* was confirmed by colony-PCR, enzymatic digestion and sequencing. The recombinant TGF α L3-SEB fusion protein with molecular weights of 31kDa was expressed and confirmed by anti-his western-blot analysis. The TGF α L3-SEB chimeric protein exhibited potent *in vitro* antitumor activity.

Conclusion: Our findings indicated that TGF α L3-SEB fusion protein can be successfully constructed expressed and purified and may serve as a useful antitumor candidate for breast cancer immunotherapy.

How to Cite this Article: Yousefi F, Siadat SD, Aslani MM, Imani-Fooladi AA, Nasiri O, Mousavi SF. Cloning, expression, purification and the study of immunotherapy status of TGF α L3-SEB chimeric protein in breast cancer treatment. Journal of Torbat Heydariyeh University of Medical Sciences. 2018;6(3):13-25.